

V-120 鉄骨鉄筋コンクリート構造体の韌性に関する研究

日本道路公団 正会員

中村正人

石原静夫

曾田信雄

1. 緒言

高速道路の山岳地への延伸に伴って、橋梁は長大化し橋脚も高橋脚となる場合が増大し、鉄骨鉄筋コンクリート（以下SRC）構造を用いる例が多く見られる。そのような高橋脚においては特にその耐震性が設計上の重要なポイントとなる。通常の橋脚の耐震性の検討は、静的な震度法に基づき材料の応力度の照査によって行われている。地震による橋脚のせん断的破壊の危険を少なくするために、橋脚の主鉄筋が降伏してからもある範囲ではせん断的破壊を生ずることなく变形し得るような韌性（ねばり強さ）を付与するように道路橋示方書丁耐震設計編で義務付けている。中小橋においては、先の宮城県沖地震でも橋脚等の鉄筋コンクリート部材のせん断的破壊例も見られ、韌性等の検討の必要性が十分認識された。しかし長大橋梁は大規模な地震の洗礼は受けていない。よって現在設計施工されている高橋脚の耐震性すなわち最終強度と韌性はどうのくらいいあるのか明確にする必要がある。模型実験はその手掛かりを得るために有効な手段であろう。特にSRC構造体についてはそのような目的の実験は皆無に等しい状態である。本文は高橋脚の地震時の奪動に關する資料を得るために30m以上のSRC橋脚を対象とした室内模型実験の結果を前回に引き続き報告するものである。

2. 実験概要

JRC構造体の最終破壊強度や韌性の影響を与える要因として種々の項目が考えられるが、今年度はせん断抵抗力に着目し帶鉄筋量および鉄骨斜材量を変え静的正負交番載荷実験をSRC5体について行った。また地震時の奪動をより正確に把握するため、振動台を用いた動的実験をSRC1体について行った。

2-1 供試体

引張鉄筋比1.5%程度、軸方向圧縮応力10%せん断スパン比5.0の供試体を図-1の形状で表-1に示す7種類を製作した。フーチングについてはその破壊が躯体部の破壊に影響を与えないよう出来るだけ大きくし腹鉄筋等も密に配筋した。

2-2 実験方法

① 静的試験 供試体をPC鋼棒で床に固定し、供試体が一定の軸方向圧縮力を受けたまま水平荷重による水平変位が自由に生じる様にローラー支承を利用した載荷装置を用いた。載荷方法は柱頭変位が5mまでは2t/mごとの一方向載荷としその後は5、10、20、30、40、50、75、100、150、200、250mmの変位制御による正負交番載荷とした。

② 動的試験 供試体を振動台にPC鋼棒で固定し、加振による慣性力を得るため柱頭部におもり(2t/m)を図-2のように設置した。加振方法は正弦波加振を基本とし供試体が破壊に至るまで段階的に入力加速度を増加させた。その途中段階で衝撃波、ランダム波、および地震波(南北偏波形、エルセントロ波形)を入力し供試体の動的特性値(伝達関数、固有振動数、減衰定数、応答加速度、応答変位)を測定した。

3. 実験結果および考察

実験結果および計算値を表-2に示す。韌性率は、終局変位と降伏変位との比である。

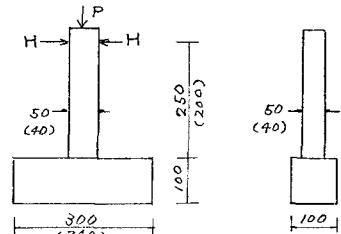


図-1 供試体の形状

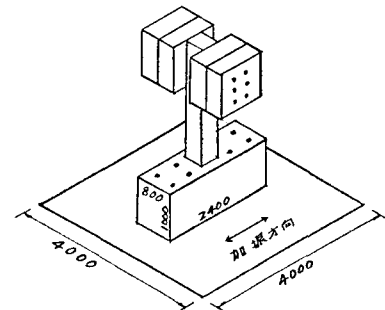


図-2 動的試験装置

表-1 供試体の種類

供試体 No	断面	鋼						斜引張鋼材			載荷法	備考	
		鉄筋 SD30	鉄筋量 ASR	鉄骨 SM50	鉄骨量 ASE	鋼材量 AS	鋼化 As/As	鋼骨鋼比 As/As	帶鉄筋 SD30	鉄骨斜材 SS41	斜引張化		
1	SRC 50×50	D16-16†	31.75	4PL-126×6	30.24	62.02	3.37	0.95	D18-20†	L25×25×3	0.498*	静的	標準試験体
2	SRC 50×50	D16-16†	31.75	4PL-126×6	30.24	62.02	3.37	0.95	D10-20	L25×25×3	0.387	静的	帶鉄筋変化
3	SRC 50×50	D16-16†	31.75	4PL-126×6	30.24	62.02	3.37	0.95	D10-20	Φ9(SR24)	0.236	静的	全端子斜材
4	SRC 50×50	D16-16†	31.75	4PL-126×6	30.24	62.02	3.37	0.95	D10-20	—	0.143	静的	斜材斜材化
5	SRC 40×40	D16-12†	23.83	4PL-94×6	22.58	46.41	2.90	0.95	D10-20	Φ9(SR24)	0.373	静的	4φモルタル
6	SRC 40×40	D16-12†	23.83	4PL-94×6	22.58	46.41	2.90	0.95	D10-20	Φ9(SR24)	0.373	動的	4φ SRC
7	PC 40×40	D22-12†	46.45	—	—	46.45	3.90	—	D10-20	—	0.178	動的	4φ SRC

表-2 実験結果及び計算値

供試体 No	計算値					実験値					算定 荷重 耐力	荷重 降伏 耐力	変位 降伏 耐力	荷重 降伏 耐力	変位 降伏 耐力	算定 荷重 耐力	荷重 降伏 耐力	変位 降伏 耐力
	正 方 向	負 方 向	荷重(△)	変位(mm)	荷重(△)	変位(mm)	荷重(△)	変位(mm)	荷重(△)	変位(mm)								
せん断	荷重(△)	変位(mm)	せん断	耐力	降伏	耐力	降伏	耐力	降伏	耐力								
1	33.0	3.8	15.1	18.8	15.7	44.0	2.8	18.2	23.0	16.5	75.0	188.0	16.0	21.0	20.0	150.0	198.0	9.9
2	26.5	—	—	—	—	—	—	18.3	20.8	19.0	100.0	189.0	16.6	19.9	20.0	40.0	143.0	7.2
3	19.7	—	—	—	—	—	—	16.2	20.8	14.5	25.0	182.0	17.1	20.4	19.0	25.0	134.5	2.1
4	14.2	—	—	—	—	—	—	16.7	17.0	21.0	15.0	125.0	13.6	18.5	20.0	15.0	125.0	6.3
5	15.7	2.1	9.9	12.7	13.9	37.5	2.7	10.5	14.1	15.0	75.0	141.0	11.1	13.9	15.0	75.0	141.0	9.7
6	—	—	—	—	—	—	—	8.7	—	27.0	84.0	—	—	—	—	—	—	—
7	10.5	2.2	11.0	14.1	15.0	45.0	3.0	10.3	—	38.0	85.0	—	—	—	—	—	—	—

本実験では終局変位は、降伏後荷重が徐々に上昇しその後下降して降伏荷重に一致した時までの変位とした。また降伏荷重の決定は荷重と主鉄筋ひずみの実験がほぼ一定となった時の荷重とした。なお計算値の水平力と変位は道路橋示方書、同解説、寸耐震設計編、参考資料VI地震時変形性能の照査方法の例による方法と同様に計算し、鉄筋の抜け出し量を考慮したものである。せん断耐力は道路橋示方書IV下部構造編に従ってコンクリート、帶鉄筋、斜材上でせん断力を負担すると考えて計算したものである。

- ① 帯鉄筋、鉄滑斜材等のせん断補強量の増加により韌性率も増加する傾向が今回の実験で確認できた。
- ② 降伏耐力、降伏変位、および最終耐力は実験値の方が大きかったがほぼ解析値(鉄筋コンクリート方式)とよい対応を示した。しかし最終変位は特に実験値の方が大きすぎる結果であった。
- ③ エネルギー吸収能力を表わす等価粘性減衰定数は、塑性解析の採用による武藤氏の提案したトリニニアーモデルを逆算した式 $\mu = \frac{1}{n} (1 - \eta)$ と塑性率(η)が5程度までは近似していた。しかし各供試体ごとの違いは明確でなかった。

④、動的耐力は静的耐力より少く特にN0.6が顕著であった。その原因は、慣性力の算定方法、付着の減少等も考えられるが主なものは主鉄骨が降伏荷重前後で被災したためであろう。

⑤ 動的実験においてひびわれの進展による剛性の低下に起因し除々に固有振動数は減少し減衰定数は増化してくるが降伏以前では減衰定数は45~60%であった。

4 結言

今回の実験から、供試体のせん断耐力が剛性に大きく影響する事、この様なSRC構造体の動的解析を行ふ場合降伏以前でも5%程度の減衰定数を用いてもさしつかえない事等の結果が得られた。今回対象としているせん断スパン比、鋼材量、鉄骨鉄筋比および軸力の範囲の高橋等においても適当な剛性を確保するためにはせん断耐力が曲げ耐力を上まわる必要があると考えられる。合理的な耐震設計に近づけるためにも今後と同様の静的、動的実験データを蓄積し各塑性率におけるせん断耐力にしめるコンクリート、帶鉄筋、鉄滑斜材および水平材等の分担割合を明確にして行くべきであると考える。